



Creative Commons Attribution 4.0 International License (CC BY 4.0)

 : <https://dx.doi.org/10.22067/jgrd.2023.77411.1158>

مقاله پژوهشی

کاربرد دمای احساسی مبتنی بر تئوری نسبت طلایی در ارزیابی شرایط آسایش انسانی کلانشهرهای ایران

محمد باعقیده (دانشیار اقلیم شناسی، گروه آب و هواشناسی و ژئومورفولوژی، دانشکده جغرافیا و علوم محیطی،
دانشگاه حکیم سبزواری، سبزوار، ایران، نویسنده مسئول)

m.baaghiddeh@hsu.ac.ir

فاطمه میوانه (دانش آموخته دکتری اقلیم شناسی شهری، گروه آب و هواشناسی و ژئومورفولوژی، دانشکده جغرافیا و
علوم محیطی، دانشگاه حکیم سبزواری، سبزوار، ایران)
fmayvaneh@yahoo.com

صفحه ۱۶۳ - ۱۱۹

چکیده

احساس راحتی انسان تا حد درخور توجهی به فراسنج‌های آب و هوایی و البته ویژگی‌ها جغرافیایی بستگی دارد. پژوهش‌های محدودی وجود دارد که نقش این دو دسته از عوامل را در کنار هم در مبحث آسایش انسانی در نظر گرفته باشند. پژوهش حاضر با این دیدگاه تلاش دارد سطوح مختلف آسایش انسانی را با استفاده از شاخص دمای احساسی مبتنی بر تئوری نسبت طلایی در کلانشهرهای ایران ارزیابی کند. پارامترهای دمای کمینه و بیشینه رطوبت کمینه و بیشینه، بارش و میانگین سرعت باد در گام زمانی روزانه برای ۱۳ کلانشهر ایران برای دوره آماری (۲۰۲۰-۱۹۹۱) از سازمان هواشناسی کشور دریافت شد و در محاسبه شاخص «دمای احساسی» (ST) استفاده شد. این شاخص مبتنی بر «تئوری نسبت طلایی» و «دمای بهینه آسایش واقعی» (AOCT) طراحی شده است و از قابلیت‌های مهم آن انعطاف‌پذیری قابل توجه نسبت به تغییرات عرض جغرافیایی، ارتفاع و فصل است. نتایج نشان داد، همبستگی قابل توجه (-0.867) معکوس و معنادار ($\alpha < 0.01$) بین

عرض جغرافیایی و دمای بهینه آسایش وجود دارد و این ارتباط برای پارامتر ارتفاع نیز با ضریب ($-0.607 < \alpha < 0.05$) در سطح ($\alpha = -0.607$) معنادار بود. شهرهای بندرعباس و اهواز بیشترین درصد فراوانی احساس حرارتی داغ و تبریز بیشترین درصد فراوانی روزهای خیلی سرد را داشتند. بیشترین توزیع ماهانه شرایط آسایش حرارتی برای شهر رشت برآورد شد. برای فصل تابستان، شهر تبریز با مجموع ۲۱ درصد شرایط آسایشی، با اختلاف، وضعیت بهتری در بین دیگر شهرها دارد؛ در حالی که اهواز، بندرعباس، کرمان و یزد هیچ موردی از هیچ‌یک از سطوح آسایشی را در این فصل تجربه نکرده‌اند. بیشترین درصد فراوانی شرایط آسایش کامل برای فصل پاییز برآورد شده است؛ به گونه‌ای که در ۹ مورد از ۱۳ شهر، آستانه غالب بوده است. استفاده از تمام فراسنج‌های اصلی آب و هوایی و امکان اعمال تصحیحات متعدد، قابلیت استفاده در گستره درخور توجهی از عرض‌های جغرافیایی و مناطق با ارتفاع متفاوت را برای شاخص ST فراهم آورده است.

کلیدواژه‌ها: آسایش انسانی، تئوری نسبت طلایی، دمای احساسی، کلان‌شهرهای ایران.

۱. مقدمه

بررسی اثرات شرایط آب و هوایی و تغییرات آن بر فیزیولوژی بدن انسان از هزاران سال پیش مطرح بوده است. امروزه نیز این اثرگذاری با در نظر گرفتن شرایط آسایش برای زیست انسان در همه ابعاد سلامتی و بهداشتی آن مطالعه می‌شود که این موضوع مهم از طریق کاربرد شاخص‌های آسایشی امکان‌پذیر شده است. براساس گزارش‌های هیئت بین‌الدول تغییر اقلیم (IPCC)، فرکانس وقوع رویدادهای شدید هوای-اقلیم افزایش می‌یابند و مخاطرات هواشناسی مانند موج گرما و آسیب‌های ناشی از سرما سلامت جمعیت مرتبط را تهدید می‌کند (ланگین^۱، ۲۰۱۶، ص. ۲۵۰). براساس این تقاضا، برآورد منطقی سطح آسایش آب و هوای شهری به یکی از کانون‌های مطالعاتی تغییرات آب و هوایی تبدیل شده است. از نظر فیزیولوژیک، شرایط آسایش حرارتی محدوده‌ای از دما و رطوبت است که در آن مکانیسم تنظیم حرارت

1. Longin

بدن در کمترین فعالیت خود باشد. براساس تعریف استاندارد آشرا (ANSI/ASHRAE^۱) آسایش حرارتی «شرایط ذهنی است که رضایت از محیط حرارتی-رطوبتی را نشان می‌دهد و از طریق برداشت‌های ذهنی ارزیابی می‌شود» (والری^۲ و همکاران، ۲۰۱۷، ص. ۱۷۲). بررسی وضعیت بیوکلیمایی انسانی، پایه و اساس بسیاری از برنامه‌ریزی‌ها در زمینه معماری، گردشگری، بهداشت و درمان است. شرایط آب و هوایی از مهم‌ترین عوامل مؤثر بر فعالیت روزانه و طولانی مدت انسان است و نبود آسایش حرارتی به صورت یک پدیده دوقطبی نبود آسایش سرد تا گرم ظاهر می‌شود. امروزه مطالعه تأثیر وضعیت آب و هوای بر سلامتی، عملکرد و رفتار انسانی در قالب یکی از شاخه‌های علمی با عنوان «زیست‌اقلیم انسانی» مطالعه و بررسی می‌شود (بارتن^۳ و همکاران، ۲۰۰۹، ص. ۱۶۵). آسایش و نبود آسایش حرارتی انسان از طریق شاخص‌های تئوری و تجربی زیادی محاسبه می‌شود که داده‌های ورودی این شاخص‌ها بسیاری از عناصر آب و هوایی از جمله سرعت باد، درجه حرارت، رطوبت و تابش خورشید است (تسیلو^۴ و همکاران، ۲۰۱۰، ص. ۱۳۴۵).

در غالب شاخص‌های ارائه شده تمرکز اصلی بر عناصر آب و هوایی (دمای رطوبت، باد...) بوده است، اما واقعیت این است که علاوه بر این عناصر، ویژگی‌ها جغرافیایی (عرض جغرافیایی، ارتفاع و فصل) نیز نقش مهمی در شرایط آسایش انسان دارند و می‌توانند پاسخ‌های فیزیولوژیک انسان را متأثر کنند؛ با وجود این، در تعداد چشمگیری از شاخص‌ها مدنظر قرار نگرفته‌اند که از این گروه می‌توان به شاخص‌های THI^۵, WCI^۶, CPI^۷, AT^۸, ... اشاره کرد. در این دسته از شاخص‌ها که به شاخص‌های تجربی معروف هستند (ذوق‌فاری، ۱۳۹۵)، برآورد دمای احساسی تا حد درخور توجهی متأثر از ذهنیت افراد است که این امر نیز

1. American National Standards Institute
2. American Society of Heating, Refrigerating and Air-Conditioning Engineers
3. Vellei
4. Burton
5. Tseliou
6. Temperature Humidity Index
7. Cooling power index
8. Apparent Temperature
9. Wind Chill Index

بهشدت در کنترل ویژگی‌های محلی است؛ بنابراین نتایج (آستانه‌ها و احساس حرارتی متناظر) نمی‌توانند با اطمینان در دیگر مناطق جغرافیایی استفاده شود.

گروه دیگر از شاخص‌ها، براساس بیلان انرژی بدن انسان طراحی شده‌اند که از آن جمله می‌توان به^۱ PMV،^۲ PET^۳ و^۴ SET اشاره کرد. این شاخص‌ها از نظر تئوری کامل‌تر هستند، اما طراحی مدل در آن‌ها بسیار پیچیده است و برخی از متغیرهای موردنیاز در فرمول‌های محاسباتی (مانند دمای تابشی) بهره‌حتی از داده‌های روزانه ایستگاه‌های هواشناسی دریافت‌شدنی نیستند. علاوه بر این، ویژگی‌های جغرافیایی معمولاً به عنوان عامل اصلی وارد معادلات نشده‌اند و وزن واقعی خودرا نیز ندارند؛ به گونه‌ای که با تغییر این ویژگی‌ها تفاوت محسوسی در نتایج حاصل نمی‌شود. وانگ^۵ و همکاران (۲۰۱۳)، یوآن^۶ و همکاران (۲۰۲۱) ص.^۷ تئوری نسبت طلایی را در حوزه هواشناسی پزشکی و سلامت استفاده کردند؛ بر این اساس، دمای آسایش بهینه واقعی با توجه به دمای بدن انسان مطرح شد و سپس با اعمال اثرات ویژگی‌های جغرافیایی (عرض جغرافیایی، ارتفاع و فصل) شاخص دمای احساسی (ST)^۸ معرفی شد. در برآورد دمای احساسی، ضمن اینکه مهم‌ترین متغیرهای هواشناسی استفاده می‌شود، تلاش شده است سهم اثرگذاری این متغیرها در شرایط متفاوت (دماهای بالاتر یا پایین‌تر از دمای بهینه آسایش و روزهای بارشی و غیر بارشی) اصلاح شود.

هدف اصلی پژوهش حاضر، ارزیابی جامع از شرایط آسایش انسانی در کلان‌شهرهای ایران است؛ به گونه‌ای که علاوه‌بر فراسنج‌های آب و هوایی، ویژگی‌های جغرافیایی نیز در این ارزیابی لحاظ شوند. در این مسیر اهداف مرحله‌ای ذیل مدنظر خواهند بود:

- برآورد دمای بهینه آسایش واقعی مبتنی بر تئوری نسبت طلایی برای کلان‌شهرهای

ایران؛

-
1. predicted mean vote
 2. Physiologal Equivalent Temperature
 3. Standard Effective Temperature
 4. Wang
 5. Yuan
 6. Somatosensory Temperature

- معرفی و به کارگیری شاخص دمای احساسی (st) به عنوان یک نمایه با قابلیت کاربرد جهانی؛
- تحلیل و مقایسه خروجی مقادیر محاسبه شده در مسیر دستیابی به توزیع ماهانه و فصلی شرایط آسایش در شهرهای منتخب.

۲. پیشینه تحقیق

در نیم قرن اخیر، روش‌ها و مدل‌های گوناگونی برای بررسی درجه تأثیر فراسنج‌های آب و هوایی بر فیزیولوژی بدن انسان ابداع شده است و سنجش شرایط آسایش و راحتی انسان مورد نظر پژوهشگران متعدد، در جغرافیای متنوع جهان بوده است. از پیشگامان این مسیر باید به اولگی اشاره کرد که در دهه شصت با ارائه نمودار زیست‌اقلیمی به تعیین نقش جداگانه و مشخص عوامل پرداخت. او براساس آزمایش‌ها و محاسباتی که در چهار منطقه مختلف اقلیمی آمریکا انجام داد، نتیجه گرفت که نیاز به ظرفیت و مقاومت حرارتی مناطق یکسان نیست. در همین دهه، گیونی نیز نمودار بیوکلیمایی را ارائه کرد. ترجونگ^۱ (۱۹۶۸) تقسیم‌بندی بیوکلیمایی را مطرح کرد و طی آزمایش‌های متعددی که روی انسان انجام داد، حاصل آن را به صورت نمودارهای کاربردی ارائه کرد.

در ادامه پژوهشگران دریافتند که بیان کیفیت پارامترهای محیطی یک منطقه و اثرات آن در آسایش با توجه به برخورداری آن از فراسنج‌های متعدد تاحدودی ممکن است؛ بنابراین باید این پارامترها به صورت شاخص‌هایی ارائه شوند که واکنش افراد را به شرایط نامناسب نشان دهند و در یک طبقه‌بندی کمی درجاتی از عالی تا غیرقابل قبول را در بر گیرند. این شاخص‌ها تفسیر تأثیرات پیچیده عناصر محیطی گوناگون را آسان‌تر می‌کنند و امکان مقایسه مکان‌های مختلف از این دیدگاه را فراهم می‌آورند (دی فراتس^۲، ۲۰۰۳، ص. ۴۵)؛ به این ترتیب، شاخص آسایش انسان از آن دسته مفاهیمی شد که به طور گسترده‌ای مدنظر قرار گرفت و تاکنون بیش از ۱۶۵ شاخص آسایش حرارتی برای اندازه‌گیری شرایط راحتی انسان طراحی و

1. Terjung
2. de Freita

معرفی شده است (کوکولو^۱ و همکاران، ۲۰۱۶، ص. ۳۳، پوچر^۲ و همکاران، ۲۰۱۸، ص. ۳۹۰).

ابتدا شاخص‌های تجربی توجه محققان را به خود جلب کرد و مطالعات گسترده‌ای براساس این دسته از شاخص‌ها در جهان انجام شد (هونام، ۱۹۶۷؛ بلیزی چک، ۲۰۰۵؛ اسماعیل و همکاران، ۲۰۰۹؛ روپرت و همکاران، ۲۰۱۲؛ وان دانا و همکاران، ۲۰۱۵). در ادامه، با امکان استفاده تخصصی‌تر از رایانه و ابداع نرم‌افزارهای مرتبط، امکان ارائه شاخص‌هایی فراهم شد که بیان انرژی بدن را در محاسبات لحاظ می‌کردند و پژوهش‌های زیادی انجام شد؛ از جمله چنگ^۳ و همکاران (۲۰۱۲، ص. ۴۳) آسایش حرارتی هنگ‌کنگ را با استفاده از شاخص‌های دمای معادل فیزیولوژیک و میانگین رأی پیش‌بینی شده مطالعه کردند. آن‌ها اثر تغییر شرایط باد و تابش خورشیدی را بر احساس دمایی افراد در منطقه بررسی کردند و نتایج پژوهش به صورت روابط ریاضی ارائه شد.

ناستس^۴ و ماتزارکیس^۵ (۲۰۱۲، ص. ۵۹۱) نقش اقلیم در مرگ‌ومیر شهر آتن را با استفاده از شاخص آسایش اقلیمی pmv بررسی کردند. نتایج پژوهش نشان داد، ارتباط معنادار و خطی بین مرگ‌ومیر و افزایش سطح تنش‌های شاخص‌های آسایش اقلیمی وجود دارد.. یاهیاء^۶ و جانسون^۷ (۲۰۱۳، ص. ۶۱۵) به مقایسه نتایج شاخص‌های حرارتی مختلف در محیط‌های شهری و در هوای آزاد شهر گرم و خشک سوریه پرداختند. آن‌ها با توجه به آستانه بالا و پایین هرکدام از شاخص‌ها، رتبه‌های مختلف آسایش اقلیمی را برآورد کردند. پس از اینکه وانگ^۸ و همکاران (۲۰۱۳) تئوری نسبت طلایی را در حوزه هواشناسی پزشکی و سلامت توسط مطرح کردند، شاخص دمای احساسی (ST) مبنی بر دمای آسایش بهینه واقعی با

1. Coccolo

2. Potchter

3. Cheng

4. Nastos

5. Matzarakis

6. Yahia

7. Johansson

8. Wang

اعمال اثرات ویژگی‌ها جغرافیایی (عرض جغرافیایی، ارتفاع و فصل) معرفی شد. ژانگ^۱ و همکاران (۲۰۲۰) نیز به خوبی از قابلیت‌های این شاخص در برآورد شرایط آسایش انسانی متأثر از عوامل ترکیبی هواشناسی-آلودگی هوا برای شهرهای منتخب چین استفاده کردند. ارتباط شرایط فیزیولوژیک بدن انسان با فراسنج‌های آب و هوایی (دمای، رطوبت، سرعت باد و...) فراتر از یک رابطه خطی ساده یا حتی چندگانه است؛ بنابراین در طرح مفهوم دمای بھینه آسایش باید تصحیحات مهم با در نظر گرفتن ویژگی‌های محلی از منظر عرض جغرافیایی، ارتفاع از سطح دریا و فصل لحاظ شود. در پژوهش حاضر سعی بر آن است تا با استفاده از قاعده نسبت طلایبی و برآورد دمای احساسی (ST) که خود به طور مشخص متأثر از تغییر در ویژگی‌ها محلی است، شرایط تنفس و آسایش حرارتی برای کلان‌شهرهای ایران ارزیابی شود.

۳. روش‌شناسی تحقیق

۳.۱. داده‌ها

سیزده کلان‌شهر از سراسر ایران با توجه به تنوع آب و هوایی و اختلاف در ویژگی‌ها جغرافیایی (عرض جغرافیایی، طول جغرافیایی و ارتفاع) انتخاب شدند (جدول ۱). مجموعه داده‌های هواشناسی برای این کلان‌شهرها از داده‌های دیدبانی (ایستگاه‌های سینوپتیک) سازمان هواشناسی کشور به صورت روزانه استخراج شد. این داده‌ها شامل دمای کمینه و بیشینه، بارش، رطوبت نسبی کمینه و بیشینه و میانگین سرعت باد است. بررسی همگنی داده‌ها با روش جرم مضاعف انجام شد و بازه آماری ۱۹۹۱-۲۰۲۰ به عنوان دوره آماری مشترک انتخاب شد.

جدول ۱. مشخصات ایستگاه‌های هواشناسی استفاده شده در پژوهش

مأخذ: سازمان هواشناسی ایران، ۱۴۰۰

ایستگاه سینوپتیک	عرض جغرافیایی	طول جغرافیایی	ارتفاع	دوره آماری
مشهد	۳۶/۲۳	۵۶/۶۳	۹۹۹/۲	۲۰۲۱-۱۹۵۱
تهران	۳۵/۶۹	۵۱/۳۰	۱۱۹۱	۲۰۲۱-۱۹۵۱

ایستگاه سینوپتیک	عرض جغرافیایی	طول جغرافیایی	ارتفاع	دوره آماری
اصفهان	۳۲/۵۱	۵۱/۷۰	۱۵۵۰/۴	۲۰۲۱-۱۹۵۱
تبریز	۳۸/۱۲	۴۶/۲۴	۱۳۶۱	۲۰۲۱-۱۹۵۱
شیراز	۲۹/۵۶	۵۲/۶۰	۱۴۸۸	۲۰۲۱-۱۹۵۱
اهواز	۳۱/۳۴	۴۸/۷۴	۲۲/۵	۲۰۲۱-۱۹۵۱
اراک	۳۴/۰۷	۴۹/۷۸	۱۷۰۲/۸	۲۰۲۱-۱۹۵۵
رشت	۳۷/۳۲	۴۹/۶۲	-۸/۶	۲۰۲۱-۱۹۵۶
یزد	۳۱/۹۰	۵۴/۲۸	۱۲۳۰/۲	۲۰۲۱-۱۹۵۲
همدان	۳۴/۸۶	۴۸/۵۳	۱۷۴۰/۸	۲۰۲۱-۱۹۵۷
کرمان	۳۰/۲۵	۵۶/۹۶	۱۷۵۴	۲۰۲۱-۱۹۵۱
بندرعباس	۲۷/۲۱	۵۶/۳۷	۹/۸	۲۰۲۱-۱۹۵۲
کرج	۳۵/۸۰	۵۰/۹۵	۱۲۹۲/۹	۲۰۲۱-۱۹۸۵

۲. دمای احساسی (ST)-تئوری نسبت طلایی^۱

دمای احساسی نقش مهمی در نظارت بر سیستم تنظیم حرارت بدن انسان دارد. به تازگی از فناوری‌های مختلفی برای اندازه‌گیری این شاخص استفاده شده است؛ مانند دماسنجهای مقاومتی یا ترموموکوپلهای اعمال شده روی سطح بدن یا دماسنجهای مادون قرمز که از نظر بالینی راحت و قابل اعتماد تعریف شده‌اند (ماتسوکاوا، ۱۹۹۶، ص. ۱۲۲۴). ارتباط شرایط فیزیولوژیک بدن انسان با فراسنجهای آب و هوایی (دما، رطوبت، سرعت باد و...) فراتر از یک رابطه خطی ساده یا حتی چندگانه است؛ بنابراین در طرح مفهوم دمای بهینه آسایش واقعی (AOCT^۲) باید تصحیحات مهمی از منظر عرض جغرافیایی، ارتفاع از سطح دریا و فصل لحاظ شود. یکی از روش‌های معتبر در ارتباط با محاسبه AOCT روشی است که مبتنی بر تئوری نسبت طلایی ارائه شده است و به شرح ذیل است (وانگ و همکاران، ۲۰۱۳):

رابطه (۱):

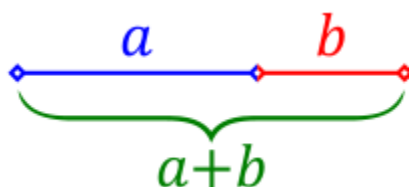
$$AOCT = 22.7 \times [1 - 0.3 \sin(\varphi - 23.5)] - |0.3 \cos(15^\circ \times (M - 1))| - 2 \times \tan(H/100).$$

1 Golden Ratio

2. Actual Optimum Comfort Temperature

φ عرض جغرافیایی، M: ماه، H: ارتفاع از سطح دریا (متر)

براساس تئوری نسبت طلایی، هرگاه یک پاره خط به دو بخش تقسیم شود به گونه‌ای که بخش طولانی‌تر (a) را بخش کوتاه‌تر (b) تقسیم کنیم و حاصل آن برابر باشد با مجموع a و b تقسیم بر a، در این صورت یک نسبت طلایی داریم که پاسخ هر دو کسر برابر با $\frac{1}{\sqrt{5}}$ خواهد شد (فالبو^۱، ۲۰۰۵).



$$\frac{a+b}{a} = \frac{a}{b}$$

مغز ما به گونه‌ای طراحی شده است که گرایش بصری و احساسی آن اشیاء، تصاویر و پدیده‌هایی را ترجیح می‌دهد که در آن نسبت طلایی استفاده شده است و حتی تغییرات کوچک که باعث شود یک پدیده به نسبت طلایی نزدیک شود، تأثیرات زیادی بر گرایش و انتخاب مغز دارد؛ مثلاً طرحی با عرض ۹۶۰ پیکسل داریم که اگر آن را بر $\frac{1}{\sqrt{5}}$ تقسیم کنیم، عدد ۵۹۴ به دست می‌آید؛ به عبارتی، اگر ارتفاع را معادل ۵۹۴ بگیریم، یک نسبت طلایی خلق کرده‌ایم که غالب افراد آن را انتخاب می‌کنند و می‌پسندند.

با توجه به اینکه میانگین دمای نرمال بدن انسان چیزی حدود 36.75°C است، براساس تئوری نسبت طلایی $(36.75 \div 1.618)$ پاسخ معادل 22.7°C خواهد بود؛ این دمایی است که هر فرد سالم در آن احساس آسایش دارد (وانگ و همکاران، ۲۰۱۳).

در معادله بالا (رابطه ۱)، این دما با لحاظ کردن اثر پارامترهای عرض جغرافیایی، فصل و ارتفاع تصحیح می‌شود. در این معادله عبارت $\sin(\varphi - 23.5)$ با هدف اصلاح نقش عرض جغرافیایی در برآورد دمای بهینه آسایش لحاظ شده است؛ چراکه با افزایش عرض جغرافیایی، انرژی دریافتی کاهش می‌یابد و مناطق کمبود انرژی در عرض‌های بیشتر، شکل می‌گیرند؛ بنابراین براساس عملکرد انطباقی فیزیولوژی بدن انسان در درازمدت، دمای بهینه آسایش

کاهش می‌باید. شایان ذکر است، این ضریب اصلاحی برای مناطق حاره (۲۳/۵ شمالی تا جنوبی) کاربرد ندارد.

عبارت $\cos(15 \times m - 1)$ به عنوان ضریب اصلاحی فصل سال وارد معادله شده است. در دوره سرد سال با توجه به پایین بودن میانگین دمای هوا، دمای بهینه آسایش کمتر از دوره گرم سال است. m شماره‌ای است که برای ماه‌های سال لحاظ می‌شود. معمولاً ماهی که پایین‌ترین میانگین دمایی را دارد، عدد ۱ و برای ماهی که بیشترین میانگین دما را دارد، عدد ۱۲ منظور می‌شود؛ به این ترتیب در عبارت بالا $(\cos(15 \times m - 1))$ برای ماه‌های گرم‌تر ضریب مربوط عملکردی افزایشی دارد و دمای بهینه آسایش مقادیر بیشتری خواهد داشت، اما این فرایند برای دوره سرد سال بر عکس خواهد بود.

عبارت $\tan\left(\frac{H}{100}\right)$ با هدف اصلاح اثر ارتفاع بر دمای آسایش بهینه لحاظ شده است.

افزایش ارتفاع نیز همچون افزایش عرض جغرافیایی موجب کاهش دمای آسایش می‌شود که ناشی از عملکرد انطباقی بدن در درازمدت برای ساکنان مناطق مرتفع است. اعمال ضریب ۲ برای این عبارت حکایت از اهمیت قابل توجه پارامتر ارتفاع در معادله مربوط را دارد. استفاده از این ضریب اصلاحی برای ارتفاع بالاتر از ۵۰۰ متر نتایج بهتری ارائه می‌دهد؛ هرچند پژوهشگران عملکرد آن را برای مناطقی با ارتفاع پایین‌تر نیز بررسی و تأیید کرده‌اند (ژانگ و همکاران، ۲۰۲۱). با در نظر گرفتن معادله AOCT به عنوان یک جزء اصلی، می‌توان معادله برآورد دمای احساسی (ST) را در دو فرم (زمانی که دمای محیط بیشتر از AOCT و زمانی که دمای محیط کمتر از AOCT باشد) ارائه کرد.

رابطه (۲):

When $ta \geq AOCT$,

$$ST = ta + a \left(\exp(0.05(ta - AOCT)(rh - rhs)) - 1 \right) - 0.03(ta - AOCT)v.$$

رابطه (۳):

When $ta < AOCT$,

$$ST = ta - a \left(\exp(0.013(AOCT - ta)(rh - rhs)) - 1 \right) - 0.01(AOCT - ta)v.$$

در معادلات بالا،

Ta : میانگین دمای هوا، a : ضریب ثابت ≈ 14 ، v : میانگین سرعت باد (m/s)، rh : رطوبت نسبی (کسر از ۱۰۰)، rhs : رطوبت نسبی بهینه است که برای شرایط بارشی $0/618$ و برای شرایط بدون بارش $0/5$ لحاظ می‌شود.

ضریب ثابت $a=14$ ، درواقع تفاوت دمای آسایش مبتنی بر تئوری نسبت طلایب (۲۲/۷) و میانگین دمای نرمال بدن انسان (۳۶/۷۵) است $(14 \approx 36.75 - 22.7)$ (وانگ و همکاران، ۲۰۱۳). براساس فرمول ۲، دمای احساسی (ST) برای زمانی محاسبه می‌شود که دمای بهینه آسایش $AOCT$ کمتر از دمای محیط (میانگین دمای هوا) باشد. $ta \geq AOCT$ در این معادله اثر هم افزایی رطوبت با افزایش دما به صورت افزایش نمایی لحاظ شده است (به عبارت $\exp(0.05(Ta - Aoct) \times V)$ دقت شود)؛ بر این اساس، زمانی که رطوبت محیط بیشتر از رطوبت بهینه (در شرایط بارشی و نبود بارش) باشد، دمای احساسی (ST) افزایش خواهد یافت.

عبارت $(Ta - Aoct) \times V$ (بیان می‌کند که اثر سرمایش باد، تنها به اندازه سرعت باد مربوط نیست، بلکه تفاوت دمای محیط با دمای بهینه آسایش نیز لحاظ شده است؛ به گونه‌ای که با افزایش دمای هوای محیط نسبت به دمای بهینه آسایش، اثر سرعت باد در کاهش دمای احساسی (ST) آشکارتر خواهد بود).

در فرمول ۳، دمای احساسی (ST) برای زمانی محاسبه می‌شود که $(Ta < Aoct)$ به عبارتی دمای هوای محیط پایین‌تر از دمای آسایشی بهینه ($AOCT$) باشد $(Aoct - Ta)(Rh - Rhs)$. در این معادله، دمای احساسی هنوز به صورت مستقیم با دمای محیط مناسب است، اما اثر رطوبت بر دمای احساسی کاهشی است. ضمن اینکه این عملکرد کاهشی رطوبت با کاهش دمای هوا نسبت به دمای بهینه آسایشی افزایش می‌یابد؛

به عبارتی هرچه رطوبت بیشتر باشد و دمای محیط پایین‌تر از دمای آسایش بهینه (AOCT) باشد، دمای احساسی (ST) کاهش بیشتری خواهد داشت.

نقش باد نیز در هر دو معادله ۲ و ۳، در مجموع کاهشی است، اما این کاهش باز هم متناسب با اختلاف دمای هوا با دمای AOCT است. هرچه دمای هوا اختلاف بیشتری با دمای بهینه آسایش (AOCT) داشته باشد، اثر باد در کاهش دمای احساسی (ST) مشهودتر است. ضمن اینکه باید توجه داشت، این اثر کاهشی برای معادله ۲ با ضریب بیشتری (۰/۰۳) حمایت شده است. در ارزیابی عملکرد و قابلیت‌های معادلات بالا باید عنوان کرد که محاسبه دمای احساسی (ST) به صورت جداگانه در شرایطی که دمای محیط بالاتر و پایین‌تر از دمای بهینه آسایش است، از نقاط قوت این روش است و می‌تواند تأثیر رطوبت را بر دماهای بالا و پایین به‌گونه‌ای منطقی تر نشان دهد. این موضوع در ارتباط با اثرات سرعت باد نیز صدق می‌کند.

در این روش برخلاف بسیاری از مدل‌های ارائه شده، استفاده از تمام فراسنج‌های اصلی آب و هوایی مؤثر در شرایط آسایش انسانی، میسر شده است؛ ضمن اینکه همراهی این پارامترها در کنار ویژگی‌های مکانی و زمانی (عرض جغرافیایی، ارتفاع و فصل) طیف گسترده‌ای به جنبه‌های کاربردی این روش داده است.

جدول ۲. رتبه‌های مختلف ST به همراه آستانه‌ها و احساس حرارتی

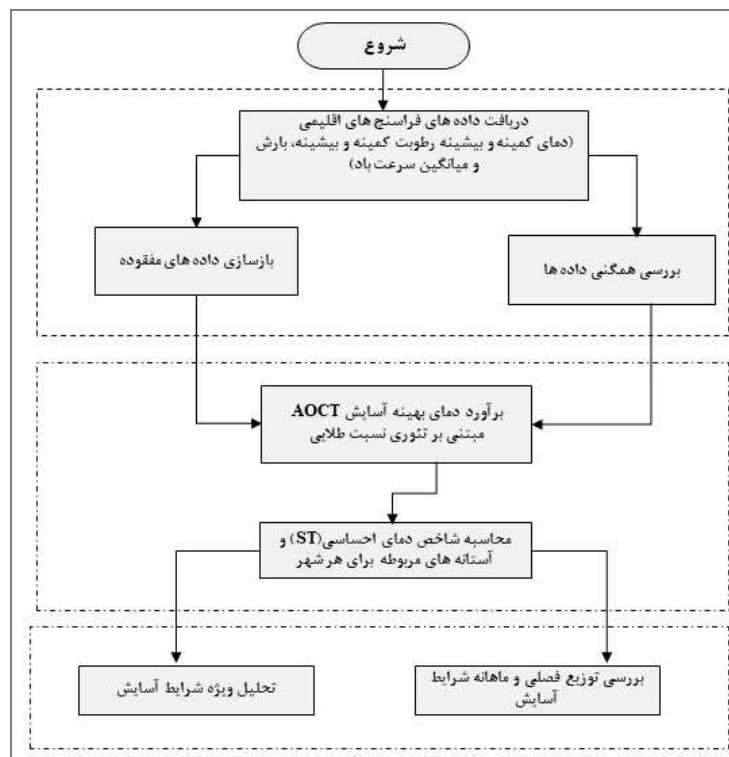
مأخذ: وانگ و همکاران، ۲۰۱۳

آستانه‌ها	احساس حرارتی	Rتبه‌های ST
-D*۳۱ST>	داغ	۴
-D۳۱-D<ST≤۲۸	خیلی گرم	۳
-D۲۸-D<ST≤۲۵	گرم	۲
-D۲۵-D<ST≤۲۲/V	گرم همراه با آسایش	۱
-D۲۲/V-D<ST≤۱۸	آسایش	۰
-D۱۸-D<ST≤۱۳	خنک همراه با آسایش	-۱
-D۱۳-D<ST≤۸	خنک	-۲
-D۸-D<ST≤۳	کمی سرد	-۳

ST رتبه‌های	احساس حرارتی	آستانه‌ها
-۴	سرد	-D ^۳ -D<ST≤۵
-۵	خیلی سرد	-D۵-D<ST≤-۱۵-
-۶	یخزدگی	-D۱۵ ST≤-

*D=22.7-AOCT

در جدول ۲، D=22.7-AOCT نشان‌دهنده انحراف بین دمای بهینه آسایش واقعی (با اعمال اصلاحات مربوط به عرض جغرافیایی، ارتفاع و فصل تنظیم شده است) و دمای بهینه آسایش تئوری است. این مقدار انحراف در راستای ارائه تنظیم پویا از دامنه ST در محدوده‌های مختلف استفاده شده است. مراحل انجام پژوهش به صورت خلاصه در شکل ۱ نشان داده شده است.



شکل ۱. مدل مفهومی مراحل انجام پژوهش

مأخذ: یافته‌های پژوهش، ۱۴۰۰

۴. یافته‌های تحقیق

مقادیر AOCT محسیبه شده برای شهرهای منتخب در جدول ۳ آمده است که بالاترین مقدار دمای بهینه به شهر بندر عباس $22/23$ و کمترین آن به تبریز مربوط است. بررسی ارتباط بین پارامترهای (جغرافیایی طول عرض و ارتفاع) با مقادیر شاخص برآورده شده نشان داد، براساس مدل همبستگی پرسون، همبستگی قابل توجه ($0/867$) معکوس و معنadar ($0/01\alpha$) بین عرض جغرافیایی و دمای بهینه آسایش وجود دارد و این ارتباط برای پارامتر ارتفاع نیز با ضریب ($-0/607$) درسطح ($0/05\alpha$) معنadar بود؛ درحالی که با طول جغرافیایی رابطه معنadar وجود نداشت. مطالعه خوش نفس و صداقت (۹۱، ۱۳۹۴) نیز مشخص کرد که شاخص سختی هوا با ارتفاع رابطه مستقیم دارد.

جدول ۳. مقادیر میانگین ماهانه AOCT

۱۴۰۰، پژوهش و یافته‌های باستان‌شناسی

میانگین						
81/20	74/21	05/21	81/20	82/20		
13/21	05/22	37/21	13/21	14/21	Dec	
10/21	02/22	34/21	10/21	11/21	Nov	
05/21	97/21	29/21	05/21	06/21	Oct	
99/20	91/21	23/21	99/20	00/21	Sep	
92/20	84/21	16/21	92/20	92/20	Aug	
84/20	76/21	08/21	84/20	85/20	Jul	
76/20	69/21	00/21	76/20	77/20	Jun	
69/20	61/21	93/20	69/20	70/20	May	
63/20	55/21	87/20	63/20	63/20	Apr	
58/20	50/21	82/20	58/20	59/20	Mar	
55/20	47/21	79/20	55/20	56/20	Feb	
54/20	46/21	78/20	54/20	55/20	Jan	
تهران	اهواز	اصفهان	اراک	مشهد	A OCT	

76/20	71/20	24/21	24/21	23/22	42/21	47/20	05/21	میانگین	
08/21	02/21	56/21	56/21	55/22	74/21	79/20	37/21	Dec	
05/21	99/20	53/21	53/21	52/22	71/21	76/20	34/21	Nov	
00/21	94/20	48/21	48/21	47/22	66/21	71/20	29/21	Oct	
94/20	88/20	42/21	42/21	41/22	60/21	65/20	23/21	Sep	
87/20	81/20	35/21	34/21	33/22	53/21	57/20	15/21	Aug	
79/20	73/20	27/21	27/21	26/22	45/21	50/20	08/21	Jul	
71/20	65/20	19/21	19/21	18/22	37/21	42/20	00/21	Jun	
64/20	58/20	12/21	12/21	11/22	30/21	35/20	93/20	May	
58/20	52/20	06/21	05/21	04/22	24/21	28/20	86/20	Apr	
53/20	47/20	01/21	01/21	00/22	19/21	24/20	82/20	Mar	
50/20	44/20	98/20	98/20	97/21	16/21	21/20	79/20	Feb	
49/20	43/20	97/20	97/20	96/21	15/21	20/20	78/20	Jan	
کرج	همدان	بزد	کرمان	شیرواز	تبریز	رشت	A OCT		

براساس مقادیر محاسبه شده AOCT و با در نظر گرفتن روابط ارائه شده در جدول ۲، آستانه های عددی برای ۱۱ رتبه مختلف شاخص احساس حرارتی (ST) برای هریک از شهر های مورد بررسی محاسبه شد و در جدول ۴ درج شد؛ بر این اساس، بالاترین آستانه عددی محاسبه شده برای احساس حرارتی «داع» به بندر عباس ($30/53$) و پس از آن اهواز با ($30/03$) مربوط بوده است. برای دیگر شهرها، آستانه های محاسبه شده برای این سطح از احساس حرارتی، کمتر از 30 بوده است. از سوی دیگر، پایین ترین آستانه عددی محاسبه شده احساس حرارتی، کمتر از 30 بوده است.

برای احساس حرارتی فوق سرد (یخزدگی) عدد ۱۷/۲۳- بوده که برای شهر تبریز برآورده شده است.

جدول ۴. آستانه‌های ST محاسبه شده برای شهرهای منتخب

مأخذ: یافته‌های پژوهش، ۱۴۰۰

۸۸/۸۹_-۶/-۱۶	۹۶/۹۶_-۵/-۱۵	۶۴/۶۵_-۶/-۱۶	۸۸/۸۹_-۶/-۱۶	۸۸/۸۸_-۶/-۱۶	-D ^o -D<ST _≤ ۱۰-
۱۱/۸۸_۱/-۶	۰۴/۹۶_۲/-۵	۳۵/۶۴_۱/-۶	۱۱/۸۸_۱/-۶	۱۲/۸۸_۱/-۶	-D ^r -D<ST _≤ ۰-
۱۱/۱۱_۶/۱	۰۴/۰۴_۷/۲	۳۵/۳۵_۶/۱	۱۱/۱۱_۶/۱	۱۲/۱۲_۶/۱	-D ^λ -D<ST _≤ ۱
۱۱/۱۱_۱۱/۶	۰۴/۰۴_۱۲/۷	۳۵/۳۵_۱۱/۶	۱۱/۱۱_۱۱/۶	۱۲/۱۲_۱۱/۶	-D ^{۱۲} -D<ST _≤ ۸
۱۱/۱۱_۱۶/۱۱	۰۴/۰۴_۱۷/۱۲	۳۵/۳۵_۱۶/۱۱	۱۱/۱۱_۱۶/۱۱	۱۱/۱۲_۱۶/۱۱	-D ^{۱۸} -D<ST _≤ ۱۳
۸۱/۱۱_۲۰/۱۶	۷۴/۰۴_۲۱/۱۷	۰۵/۳۵_۲۱/۱۶	۸۱/۱۱_۲۰/۱۶	۸۲/۱۲_۲۰/۱۶	-D ^{۲۲} -D<ST _≤ ۱۸
۱۱/۸۱_۲۳/۲۰	۰۴/۷۴_۲۴/۲۱	۳۵/۰۵_۲۳/۲۱	۱۱/۸۱_۲۳/۲۰	۱۲/۸۲_۲۳/۲۰	-D ^{۲۰} -D<ST _≤ ۲۷
۱۱/۱۱_۲۶/۲۳	۰۴/۰۴_۲۷/۲۴	۳۵/۳۵_۲۶/۲۳	۱۱/۱۱_۲۶/۲۳	۱۲/۱۲_۲۶/۲۳	-D ^{۲۸} -D<ST _≤ ۲۰
۱۱/۱۱_۲۹/۲۶	۰۳/۰۴_۳۰/۲۷	۳۵/۳۵_۲۹/۲۶	۱۱/۱۱_۲۹/۲۶	۱۲/۱۲_۲۹/۲۶	-D ^{۲۱} -D<ST _≤ ۱۸
۲۹/۱۱	۳۰/۰۳	۲۹/۳۵	۲۹/۱۱	۲۹/۱۲	-D ^{۲۱} ST>
تهران	اهواز	اصفهان	اراک	مشهد	مشهد

99/99_-6/-16	45/46_-6/-16	45/46_-6/-16	46/47_-5/-15	27/28_-6/-16	22/23_-7/-17	64/65_-6/-16	$\neg D^o \cdot D < ST \leq 1^o$
01/99_1/-6	54/45_1/-6	54/45_1/-6	35/46_2/-5	72/27_1/-6	77/22_0/-7	35/64_1/-6	$\neg D^r \cdot D < ST \leq o$
01/01_6/1	54/54_6/1	54/54_6/1	53/53_7/2	72/72_6/1	77/77_5/0	35/35_6/1	$\neg D^h \cdot D < ST \leq r$
01/01_11/6	54/54_11/6	54/54_11/6	53/53_12/7	76/72_11/6	77/77_10/5	35/35_11/6	$\neg D^{hr} \cdot D < ST \leq h$
01/01_16/11	54/54_16/11	54/54_16/11	53/53_17/12	72/72_16/11	77/77_15/10	35/35_16/11	$\neg D^{hr} \cdot D < ST \leq 1^r$
71/01_20/16	24/54_21/16	24/54_21/16	23/53_22/17	42/72_21/16	47/77_20/15	05/35_21/16	$\neg D^{hr/v} \cdot D < ST \leq 1^h$
01/71_23/20	54/24_23/21	54/24_23/21	53/23_24/22	72/42_23/21	77/47_22/20	65/05_23/21	$\neg D^{hr} \cdot D < ST \leq v/v$
01/01_26/23	54/54_26/23	54/54_26/23	53/53_27/24	72/72_26/23	77/77_25/22	35/65_26/23	$\neg D^{hr} \cdot D < ST \leq o$
01_29/26	54/54_29/26	54/54_29/26	53/53_30/27	72/72_29/26	77/77_28/25	35/35_29/26	$\neg D^{hr} \cdot D < ST \leq v$
۲۹	۲۹/۵۴	۲۹/۵۴	۲۹/o۳	۲۹/v۷۲	v۷۷/v۷۷	۲۹/v۳۰	$\neg D^{hr} \cdot ST >$
همدان	بزند	کرمان	بندرعباس	شیراز	شیراز	رشت	شمیر

93/94_6/16	-D ^o ·D<ST _≤ · ^o ·
06/93_1/6	-D ^v ·D<ST _≤ · ^o ·
06/06_6/1	-D ^λ ·D<ST _≤ · ^r
01/06_11/6	-D ^v ·r·D<ST _≤ · ^λ
01/01_16/11	-D ^λ ·v·D<ST _≤ · ^r
76/06_20/16	-D ^v ·v/ ^v ·D<ST _≤ · ^λ
06/76_23/20	-D ^v ^o ·D<ST _≤ · ^{r/v}
06/06_26/23	-D ^v ^λ ·D<ST _≤ · ^o
06/06_29/26	-D ^r ^v ·D<ST _≤ · ^v
٢٧٤_٦	-D ^r ^v ·ST ^{>}
٣٥٩	سُمْرَك

*استانه (ST \leq 15-D) از جدول حذف شده است؛ زیرا برای هیچ یک از شهرهای منتخب دمای احساسی در این پایه برآورد نشد.

براساس اطلاعات مندرج در جدول ۵، بالاترین مقادیر دمای احساسی در بین شهرهای بررسی شده در این پژوهش، برای اهواز و بندر عباس به ترتیب با $38/55$ و $37/03$ برآورد شده است که در ماههای آگوست و جولای ثبت شد. بعد از این دو شهر که به لحاظ عرض جغرافیایی کمتر و مهم‌تر از آن، ارتفاع ناچیز از سطح دریا، بالاترین رتبه را به خود اختصاص دادند، شهر یزد با بیشینه دمای احساسی $31/01$ قرار دارد و در دسته بعدی می‌توان شهرهایی چون رشت ($31/83$) اصفهان ($31/33$) تهران ($31/32$) و شیراز ($31/03$) را قرار داد. حضور شهر رشت در این دسته به لحاظ ارتفاع پایین آن به رغم عرض جغرافیایی زیاد، قابل توجه است. در گروه دیگر، شهرهای کرج ($30/99$), مشهد ($30/21$), تبریز ($30/35$) قرار می‌گیرند. دمای احساسی بیشینه برای شهرهای اراک، کرمان و همدان به ترتیب با $29/42$, $29/29$ و $27/75$ کمتر از 30 بود. هر سه این شهرها ارتفاع بالاتر از 1700 متر داشتند.

در ارتباط با ماههای ثبت بیشینه‌های دمای احساسی، برای اغلب ایستگاه‌ها (۹ مورد از ۱۳ ایستگاه) این موارد در ماه جولای ثبت شده است. بررسی کمینه‌های فرین نشان می‌دهد، پایین‌ترین مقادیر دمای احساسی برای شهرهای همدان (۱۶/۹۳) و اراک (۱۶/۰۴) ثبت شده‌اند که مطمئناً نقش هر دو عامل عرض جغرافیایی و ارتفاع (بالاتر از ۱۷۰۰ متر) تعیین‌کننده بوده است. بندرعباس و اهواز تنها شهرهایی بودند که دمای احساسی کمینه آن‌ها در طول دوره آماری منفی نبوده است (۱۲/۰۱ و ۵/۱۴). در شش شهر از ۱۳ شهر، موارد کمینه

در ماه ژانویه ثبت شده‌اند. شش شهر دیگر در ماه فوریه و فقط برای تبریز، زمان این رخداد دسامبر بوده است.

**جدول ۵. فرین‌های کمینه و بیشینه دمای احساسی (ST) برآوردشده برای شهرهای منتخب
مأخذ: یافته‌های پژوهش، ۱۴۰۰**

شهر	بیشینه	کمینه	میانگین (AOCT)
مشهد	(۷)* ۳۰/۲۱	(۲)-۱۵/۷۹	۲۰/۸۲
اراک	(۷) ۲۹/۴۲	(۱)-۱۶/۰۴	۲۰/۸۱
اصفهان	(۸) ۳۱/۳۳	(۱)-۹/۴	۲۱/۰۵
اهواز	(۸) ۳۸/۵۵	(۲) ۵/۱۴	۲۱/۷۳
تهران	(۷) ۳۱/۳۲	(۲)-۷/۸۵	۲۰/۸۱
رشت	(۷) ۳۱/۸۳	(۲)-۴/۹۷	۲۱/۰۵
تبریز	(۷) ۳۰/۳۵	(۱۲)-۱۳/۴	۲۰/۴۷
شیراز	(۷) ۳۱/۰۳	(۱)-۱/۷۸	۲۱/۴۲
بندرعباس	(۷) ۳۷/۰۳	(۲) ۱۲/۰۱	۲۳/۲۳
کرمان	(۸) ۲۹	(۱)-۱۱/۱۳	۲۱/۲۴
یزد	(۸) ۳۳/۰۱	(۲)-۸/۶۷	۲۴/۲۴
همدان	(۷) ۲۷/۷۵	(۱)-۱۶/۹۳	۲۰/۷
کرج	(۷) ۳۰/۹۹	(۱)-۱۰/۰۹	۲۰/۷۶

*اعداد داخل پرانتز شماره ماه است که فرین دمای احساسی در آن برآورد شده است.

جدول ۶، درصد فراوانی و قوع رتبه‌های احساس حرارتی (ST) را برای شهرهای منتخب نشان می‌دهد؛ بر این اساس، در ستون احساس حرارتی داغ (ST>31-D) بیشترین درصد فراوانی به شهرهای بندرعباس و اهواز به ترتیب با ۴۱/۸۸ و ۴۰/۵۹ درصد مربوط بوده است؛ این در حالی است که شهر یزد با فاصله قابل توجه نسبت به دو شهر مذکور (۱۰/۳۲ درصد) در رتبه سوم قرار دارد. برای شهرهای همدان و کرمان هیچ موردی از تنش حرارتی در آستانه مدنظر (داغ) ثبت نشده است. این موضوع برای همدان با توجه به توپوگرافی و عرض جغرافیایی آن دور از ذهن نیست، اما برای شهر کرمان به نظر می‌رسد پارامتر ارتفاع (بالاترین در بین ایستگاه‌های بررسی شده) بیشترین نقش را در این زمینه ایفا کرده است؛ چراکه در

محاسبه شاخص (ST) وزن قابل توجهی برای ارتفاع در نظر گرفته شده است؛ به گونه‌ای که می‌تواند حتی اثر کاهشی عرض جغرافیایی کم را تا حد چشمگیری جبران کند؛ این در حالی است که پژوهش با مردم نژاد و همکاران (۱۳۹۸) ضمن تأیید عملکرد شاخص دمای معادل فیزیولوژیک، سهم در خور توجهی را برای تنفس‌های حرارتی زیاد، در نظر گرفته است. براساس داده‌های جدول، برای آخرین آستانه تنفس سرمایی (یخ‌زدگی) هیچ موردی برای شهرهای بررسی شده ثبت نشده است و در آستانه خیلی سرد، بیشترین درصد فراوانی به تبریز و پس از آن به همدان مربوط بوده است و مطابق انتظار، شهرهای بندرعباس، اهواز و البته رشت فاقد رخداد تنفس سرمایی در این آستانه بودند.

آستانه ($D \leq ST \leq 22.7$) بیانگر وجود شرایط «آسایش» حرارتی است که براساس اطلاعات جدول، بیشترین درصد فراوانی به بندرعباس با $21/27$ درصد و سپس اهواز با $15/36$ درصد مربوط بوده است. شهرهای کرمان ($13/72$ درصد) و همدان ($13/10$ درصد) در رتبه‌های بعدی قرار می‌گیرند. تبریز با $10/59$ درصد کمترین سهم را در این آستانه داشته است. شرایط آسایشی بندرعباس و اهواز در بسیاری از سطوح شاخص احساس حرارتی به هم نزدیک‌اند و تنها تفاوت در خور توجه در سطح «خنک همراه با آسایش» است که باعث شده است اهواز تعداد روزهای آسایشی کمتری در مقایسه با بندرعباس داشته باشد؛ به گونه‌ای که اگر آستانه‌های قبل و بعد از آستانه آسایش یعنی (گرم همراه با آسایش و خنک همراه با آسایش) را نیز به عنوان محدوده آسایش در نظر بگیریم، مجموع این آستانه‌ها برای شهرهای بندرعباس و اهواز ($37/9$ و $38/39$) بسیار نزدیک به هم خواهد بود.

اختلاف قابل توجه در درصد فراوانی روزهای همراه با آسایش حرارتی برای شهر بندرعباس با دیگر شهرهای بررسی شده، در درجه اول به سهم بسیار ناچیز (نزدیک به صفر) آستانه‌های «خیلی سرد، سرد، کمی سرد و خنک» برای این شهر برمی‌گردد. در آستانه خنک همراه با آسایش نیز بندرعباس پایین‌ترین رتبه ($7/39$ درصد) را در بین شهرها داشته است؛ به این ترتیب بیش از $92/5$ درصد از روزهای بررسی شده در دوره آماری، در محدوده خارج از تنفس‌های سرد قرار داشته است که از این بین، $21/27$ درصد به شرایط «آسایش حرارتی» مربوط بوده و بقیه در محدوده تنفس‌های حرارتی گرم توزیع شده است؛ به عبارتی، چند ماه از

سال به طور کامل توسط بالاترین تنش‌های گرمایی (داغ و خیلی گرم) از شرایط آسایش به دور هستند، اما به دلیل نبود تنش‌های سرمایی در این شهر، ماههای دیگر سال به شرایط آسایش حرارتی نزدیک‌تر شده‌اند.

در ارتباط با درصد روزهای همراه با آسایش، برای ایستگاه تبریز باید اذعان داشت که سهم قابل توجه تنש‌های سرد نقش مهمی در کاهش آسایش حرارتی داشته است. همسو با این نتیجه، نتایج پژوهش خوش‌نفس و صداقت (۹۱، ۱۳۹۴) مبتنی بر شاخص سختی هوا نشان داد، در شمال غرب ایران ۸۷ درصد از روزهای دوره سرد سال، خارج از محدوده آسایش قرار دارند. تبریز بیشترین درصد روزهای خیلی سرد را در دوره آماری مطالعه شده داشته است و درمورد احساس حرارتی سرد نیز بعد از همدان قرار می‌گیرد؛ البته به این نکته نیز باید توجه داشت که در کنار تنش‌های حرارتی سرد، تنش حرارتی خیلی گرم نیز با سهم نزدیک به ۹ درصد، به نوبه خود در کاهش محدوده آسایش مؤثر بوده است.

جدول ۶. درصد فراوانی و قوی رتبه‌های احساس حرارتی (ST) در شهرهای منتخب

۱۴۰۰، پژوهش و یافته‌های باستان‌شناسی

شهر	اصفهان	تهران	اراک	مشهد	داغ	خیلی سرد	بنزینگی
.
۰/۱۱	۰/۰/۷	۱/۰/۲	۰/۰	۰/۰	۰/۰	۰/۰	۰/۰
۱/۸/۷	۲/۳/۸	۹/۱/۵	۷/۷/۸	سود			
۱/۳/۸	۱/۴/۳	۱/۰/۷	۱/۳/۰	کمی سرد			
۱/۷/۷	۱/۷/۶/۶	۱/۴/۳	۱/۵/۷/۲	خنک			
۱/۷/۷	۱/۷/۷/۶	۱/۲/۸/۶	۱/۲/۸/۲	خنک همراه با آسایش			
۱/۷/۷	۱/۷/۷/۷	۱/۰/۷/۵	۱/۰/۸/۳	آساپیش			
۱/۷/۷	۱/۷/۷/۷	۱/۷/۴/۶	۱/۷/۷/۳	گرم همراه با آسایش			
۱/۷/۷	۱/۷/۷/۷	۱/۷/۹/۷	۱/۷/۸	گرم			
۱/۷/۷	۱/۷/۷/۸	۱/۷/۴/۷	۱/۷/۵/۷	خیلی گرم			
۱/۷	۱/۹/۵	۱/۱/۰	۰/۸/۹	داغ			
				شهر			

۴. توزیع ماهانه سطوح مختلف آسایش حرارتی مبتنی بر شاخص دمای احساسی (ST)

بررسی فراوانی سطوح احساس حرارتی شاخص ST برای ماههای سال به تفکیک انجام گرفته است که نتایج در جدول ۷ مشاهده می‌شود. براساس اطلاعات مندرج در این جدول، برای شهرهای اهواز و بندرعباس آستانه‌های سرد و خیلی سرد در هیچ ماهی از سال ثبت نشده

است و حضور دو ماه کامل در شرایط داغ حرارتی (جولای و آگوست) و تقریباً شش ماه بدون شرایط آسایش حرارتی از ویژگی‌ها باز و مشترک در این دو شهر است. برای شهر بندرعباس تمرکز بیشتر رخدادهای آسایش در اوچ دوره سرد سال (دسامبر تا فوریه) بوده است.

برای شهر همدان هیچ موردی از تنش حرارتی داغ در دوره آماری ثبت نشده است و درباره کرمان باید گفت، این شهر از عرض جغرافیایی نسبتاً کم برخوردار است، اما احساس حرارتی داغ در هیچ ماهی از سال ثبت نشده است که می‌تواند متأثر از اثر تعدیلی و نقش قابل توجه ارتفاع ۱۷۴۵ متر باشد.

توزیع روزهای همراه با آسایش حرارتی برای شهر مشهد به گونه‌ای بوده است که تنها دو ماه ژانویه و جولای هیچ موردی از شرایط آسایش را تجربه نکرده‌اند و ماههای اکتبر و آوریل بیشترین تعداد روزهای همراه با آسایش حرارتی در طول دوره آماری را داشتند.

برای شیراز نیز در حالی که برای سه ماه جون، جولای و آگوست روزهای داغ ثبت شده است، برای هیچ ماهی از سال در آستانه خیلی سرد موردی به ثبت نرسیده است. برای شهر تهران، نکته قابل توجه وجود ۴۶ روز معادل ۴۷ درصد شرایط داغ برای ماه جولای است؛ این در حالی است که احساس حرارتی خیلی گرم نیز سهم درخور توجهی در ماههای جون، جولای و آگوست داشته است. مطالعه علیجانی و رضوی (۱۳۹۶، ص. ۱۵۴) نیز اگرچه تنش های گرمایی فصل گرم تهران را تأیید می‌کند، درصد زیاد روزهای داغ را نشان نداده است. ماههای اکتبر و آوریل نیز به ترتیب بیشترین فراوانی شرایط آسایش را ثبت کرده‌اند.

بیشترین توزیع شرایط آسایش حرارتی برای شهر رشت مشاهده شده است؛ به گونه‌ای که در همه ماههای سال فراوانی رخدادهای آسایش ثبت شده است که کمینه آن برای ماه فوریه و جولای و بیشینه آن (معادل ۵۳ درصد) برای ماه اکتبر بوده است. احساس حرارتی غالب برای ماههای دوره سرد سال «خنک» بوده است و به نظر می‌رسد که با وجود عرض جغرافیایی زیاد، عواملی همچون ارتفاع کم و شرایط تعدیلی دریا در کاهش سطح تنش‌های سرمایی نقش داشته‌اند.

جدول ۷. توزیع ماهانه سطوح مختلف آسایش حرارتی مبتنی بر شاخص دمای احساسی (ST)

مأخذ: پافته‌های پژوهش، ۱۴۰۰

شهر	ارک	آستانه داغ	خیلی گرم	گرم	خیلی سرد	داغ	آستانه
شہر	امواز	داغ	خیلی گرم	گرم	خیلی سرد	داغ	آستانه
آگسٹ	آگسٹ	۰	۰	۰	۰	۰	۰
سپتامبر	سپتامبر	۰	۰	۰	۰	۰	۰
اکتوبر	اکتوبر	۰	۰	۰	۰	۰	۰
نومبر	نومبر	۰	۰	۰	۰	۰	۰
دسامبر	دسامبر	۰	۰	۰	۰	۰	۰

کاربرد دمای احساسی مبتنی بر تئوری نسبت طلایی ...

۱۴۳

سال بیستم

کاربرد دمای احساسی مبتنی بر تنوری نسبت طلایعی ...

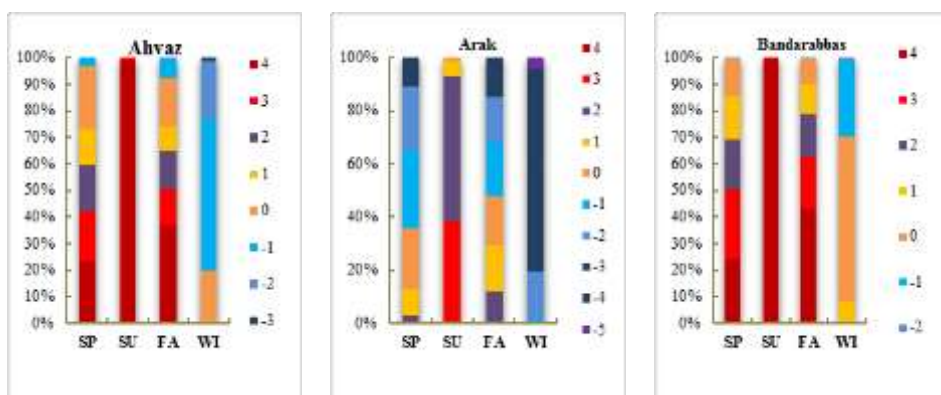
۱۴۹

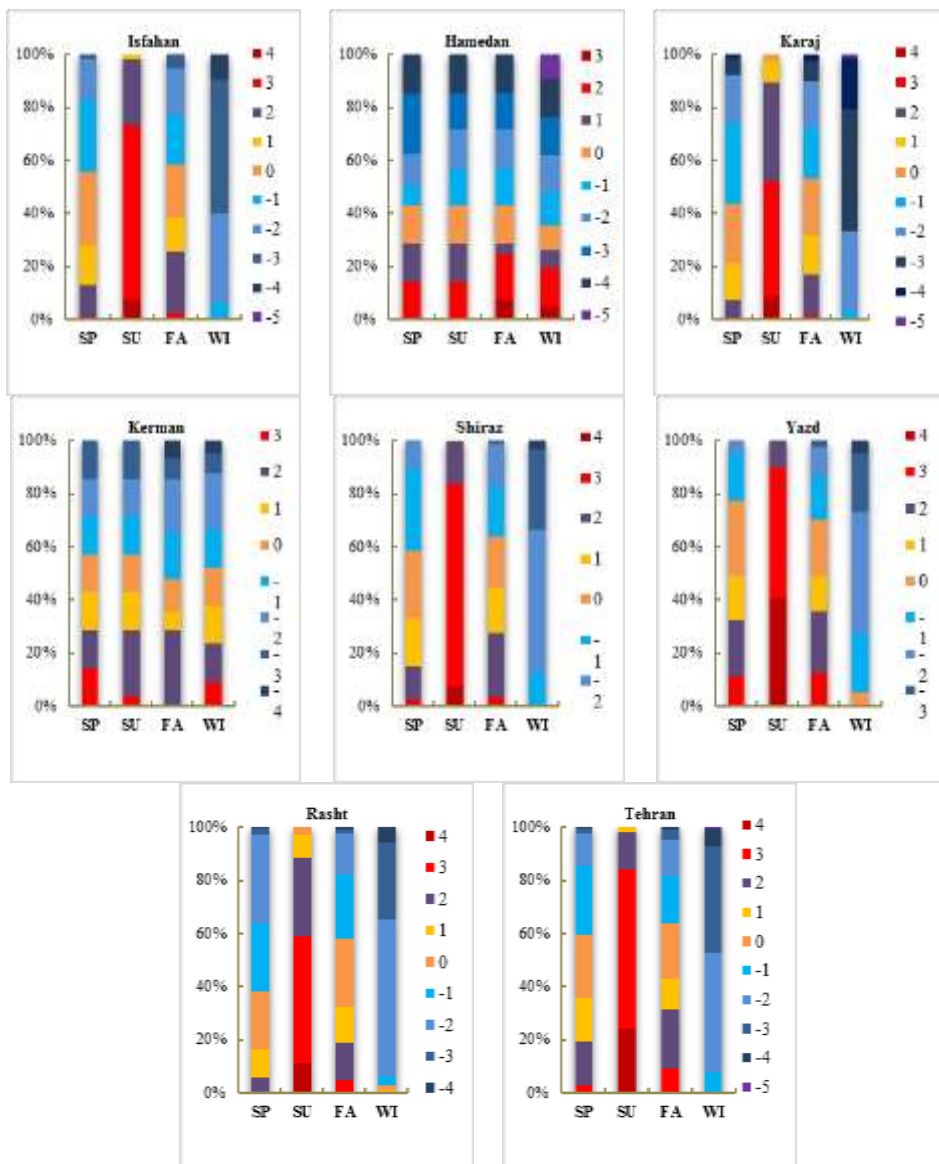
شهر	تهران	بندر
آستانه	دان خیلی گرم گرم	دان خیلی گرم گرم
آسپايش	آسپايش (جنک)	آسپايش (جنک)
اسایش	اسایش خنک	اسایش خنک
فروده	فروده خنک	فروده خنک
مارس	مارس خنک	مارس خنک
آوريل	آوريل خنک	آوريل خنک
ژولاي	ژولاي خنک	ژولاي خنک
ژوئن	ژوئن خنک	ژوئن خنک
تم	تم خنک	تم خنک
آگوست	آگوست خنک	آگوست خنک
سپتامبر	سپتامبر خنک	سپتامبر خنک
اكتوبر	اكتوبر خنک	اكتوبر خنک
نوامبر	نوامبر خنک	نوامبر خنک
ديسمبر	ديسمبر خنک	ديسمبر خنک

ماه	آذر	دی	بهمن	اسفند	خرداد	تیر	مرداد	ژوئن	اوت	شهریور	مهر	فروردین	آبان	آذر	آستانه	مهر
۱۳۹۷/۰۶	۲۴/۱۴	۳۲/۰۵	۵/۰۵	-	-	-	-	-	۲۸/۱۴	۲۶/۳۵	۳۰/۵۵	۱۵/۱۵	-	۲۷/۰۵	۲۷/۰۵	
۱۳۹۷/۰۷	-	-	-	-	-	-	-	-	۱۹/۰۱	۵/۹۹	۳۰/۳۰	۷/۷۷	۷/۷۷	۷/۷۷	۷/۷۷	
۱۳۹۷/۰۸	۱۰/۰۱	-	-	-	-	-	-	-	-	۳۲/۰۰	۲/۱	۵/۴	۵/۴	۵/۴	۵/۴	

۴. ۲. توزیع فصلی سطوح مختلف احساس حرارتی براساس شاخص دمای احساسی (ST)

درصد فراوانی رخدادهای مختلف سطوح مختلف احساس حرارتی براساس شاخص ST برای فصل‌های مختلف سال در شهرهای منتخب در شکل ۲ آمده است در طول دوره آماری که ۱۰۹۵۷ روز بوده است، فراوانی رخدادها برای ماههای فوریه، مارس آوریل (فصل بهار) می، جون، جولای (فصل تابستان) سپتامبر، اکتبر، نومبر (فصل پاییز) دسامبر، ژانویه، فوریه (فصل زمستان) لحاظ شده است که امکان مقایسه دیداری را فراهم آورده است.





شکل ۲. توزیع فصلی آستانه‌های شاخص دمای احساسی (ST)

مأخذ: یافته‌های پژوهش، ۱۴۰۰

۴. ۳. بررسی ویژه شرایط آسایش

در رتبه‌بندی شاخص احساس حرارتی، آستانه $18-D \leq ST \leq 22.7-D$ به عنوان محدوده آسایش لحاظ شده است، اما دو آستانه بالا و پایین آن نیز یعنی $13-D \leq ST \leq 18-D$ و $22.7-D \leq ST \leq 25-D$ لحاظ شده است.

بررسی آستانه‌های مختلف این شاخص برای شهرهای منتخب، در ادامه این بحث تلاش شده است تا با توجه به اهمیت محدوده آسایش، با نگاهی دقیق‌تر، سه سطح آسایشی مذکور بررسی شود؛ ازین‌رو جدول ۸ تنظیم شد. در این جدول برای چهار فصل سال درصد فراوانی سه سطح آسایشی برای شهرهای منتخب محاسبه شده است.

جدول ۸. درصد فراوانی فصلی سه سطح آسایش (خنک همراه با آسایش، آسایش، گرم همراه با آسایش)

۱۴۰۰، یزد و هشتر، یافته‌های مأخذ:

شهر	بهار				تابستان				پاییز				زمستان			
	آسایش (گام)	آسایش (نیک)	آسایش (نیک)	آسایش (نیک)	آسایش (گام)	آسایش (گام)	آسایش (نیک)	آسایش (نیک)	آسایش (گام)	آسایش (گام)	آسایش (نیک)	آسایش (نیک)	آسایش (نیک)	آسایش (نیک)	آسایش (نیک)	آسایش (نیک)
رشت	۰/۴۰	۲/۱۲	۲/۰۲	۹/۵۰	۵/۷۶	۷/۷	۲/۱	۰	۱/۱۵	۷/۱۳	۲/۰۲	۷/۳۱	۱/۱	۹/۱	۵/۳	۵/۷
شیرواز	۵/۱۷	۵/۰۲	۰/۳۰	۹/۶۷	۰/۵۰	۰/۰	۰	۰	۰/۰	۱/۱۹	۷/۱۹	۷/۵۶	۰	۰	۱/۱۲	۱/۲۱
بستان	۱/۷	۲/۰۲	۳/۰۷	۷/۰۵	۱/۰۵	۱/۱۷	۳/۷	۰/۰	۱/۱۲	۱/۱۱	۱/۰۲	۱/۰۴	۰	۰	۰	۰
همدان	۱/۱	۲/۳۲	۲/۲۶	۷/۳۱	۳/۱۱	۱/۱	۰	۰	۱/۱۷	۱/۱۱	۱/۰۲	۱/۰۵	۰	۰	۰/۰	۱/۷
اهواز	۱/۱	۲/۰۲	۲/۰۷	۷/۱۱	۳/۱۱	۰	۰	۰	۰/۰	۱/۱۲	۱/۱۲	۱/۰۵	۰/۰	۰/۰	۲/۲۱	۲/۷۲

مشخص است که برای فصل بهار در بیشتر شهرهای بررسی شده (۸۸ شهر) شرایط خنک همراه با آسایش برتری داشته است و شرایط آسایش کامل برای سه شهر اهواز، اصفهان و پزد فراوانی بیشتری داشته است. در ستون مجموع شرایط آسایشی برای فصل بهار، شهر همدان بیشترین درصد فراوانی شرایط آسایشی را داشته است. برای فصل تابستان مشخص است که در همه شهرهای بررسی شده کمترین درصد فراوانی شرایط آسایشی حاکم است. از میان سه سطح آسایشی، «آستانه گرم همراه با آسایش» برتری نسبی داشته است. از شهرهای بررسی شده، تبریز با مجموع ۲۱ درصد شرایط آسایشی، با اختلاف وضعیت بهتری در بین دیگر شهرها داشته است. اهواز، بندرعباس، کرمان و پزد هیچ موردي از هیچ یک از سطوح آسایشی را در این فصل تجربه نکرده‌اند. بیشترین درصد فراوانی شرایط آسایش کامل برای فصل پاییز برآورد شده است؛ به گونه‌ای که در ۹ شهر از ۱۳ شهر به عنوان آستانه غالب خود را نشان داده است. در این فصل، همدان و کرمان شرایط بهتری در مقایسه با دیگر شهرها داشتند و همچون دو فصل قبل، بندرعباس با ۲۰/۹ و اهواز با ۳۵ درصد کمترین

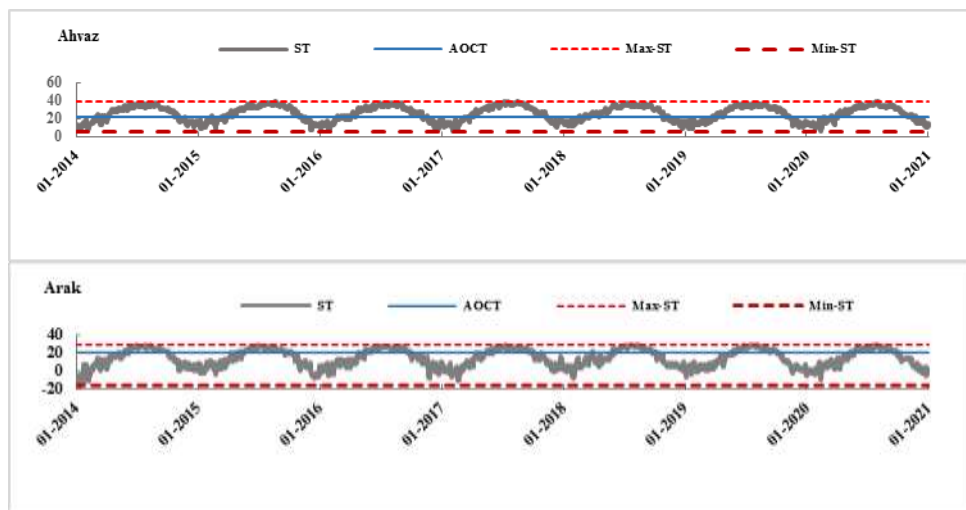
سهم را داشتند. در فصل زمستان در بین سه سطح آسايش بررسی شده، آستانه خنک همراه با آسايش درصد فراوانی بیشتری داشته است. در این فصل، تنها ایستگاه تبریز است که هیچ موردی از آسايش حرارتی را ثبت نکرده است. خالدی و همکاران (۱۳۹۸، ص. ۷۳) نیز براساس خروجی چند شاخص زیستاقلیمی از جمله PMV و SET شرایط آسايشی این فصل را برای تبریز بسیار محدود ارزیابی کردند. نکته درخور توجه، درباره شهر ساحلی بندرعباس است که شرایط آسايش کامل، نزدیک به ۶۲ درصد از روزهای این فصل را در بر گرفته است و اگر مجموع سه سطح آسايش را در نظر بگیریم، حدود ۹۹ درصد از روزهای فصل زمستان برای شهر بندرعباس در محدوده آسايش قرار می‌گیرند که خود گویای ظرفیت زیاد سواحل جنوبی کشور در دوره سرد سال در این زمینه است. مطالعه حفی (۱۳۹۹، ص. ۲۵۳) نیز نشان داد، در فصل زمستان، مناسب‌ترین شرایط آسايش اقلیمی به شهرهای جنوبی کشور مربوط است که بندرعباس و اهواز در رأس آن‌ها قرار دارند.

در شکل ۳ به‌منظور بررسی تغییرات شاخص دمای احساسی نسبت به موقعیت دمای بهینه آسايش واقعی (AOCT)، مقادیر روزانه شاخص (ST) برای دهه پایانی دوره آماری ترسیم شده است. بررسی نمودارها نشان می‌دهد، الگوی سینوسی کلی برای همه شهرها در نگاه اول مشترک به نظر می‌رسد که بیانگر تأثیرپذیری قابل توجه ST از پارامتر دما و به تبع پیروی از الگوی تغییرات دما در طول سال است، اما نگاه دقیق‌تر به نمودارهای مربوط به شهرهای بررسی شده تفاوت‌های قابل بحثی را نشان می‌دهد. با وجود اینکه مقادیر AOCT شهرهای بررسی شده تفاوت قابل توجهی را نشان نداده و دامنه آن از ۲۰,۴۷ تا ۲۲,۲۳ متغیر بوده است، اما حد بالا و پایین شاخص دمای احساسی، دامنه نوسان متنوعی را در هر ایستگاه نشان داده است که بیشترین آن به اهواز (۳۸,۵۵) و کمترین به همدان (۱۶,۹۳) مربوط بوده است.

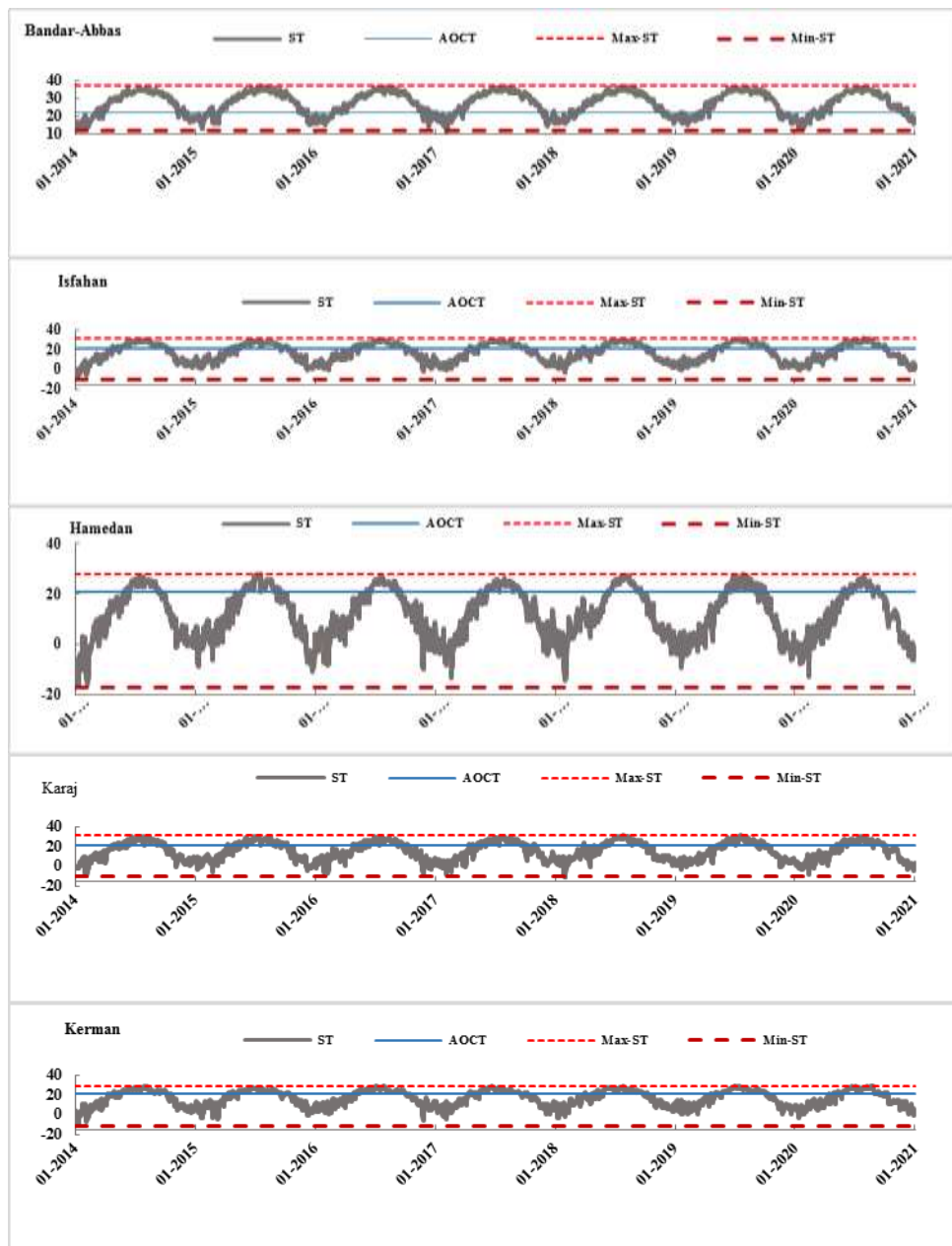
موقعیت خط AOCT نشان می‌دهد، به جز بندرعباس و اهواز برای دیگر شهرها، شاخص ST در بخش قابل توجهی از هر سیکل سالانه پایین‌تر از دمای بهینه آسايش قرار دارد؛ البته باید در نظر داشت که هر فاصله‌ای از خط AOCT به معنای خروج از باند آسايش نیست. این فاصله برای شاخص دمای احساسی محاسبه شده در شهر همدان بیشترین نمود را

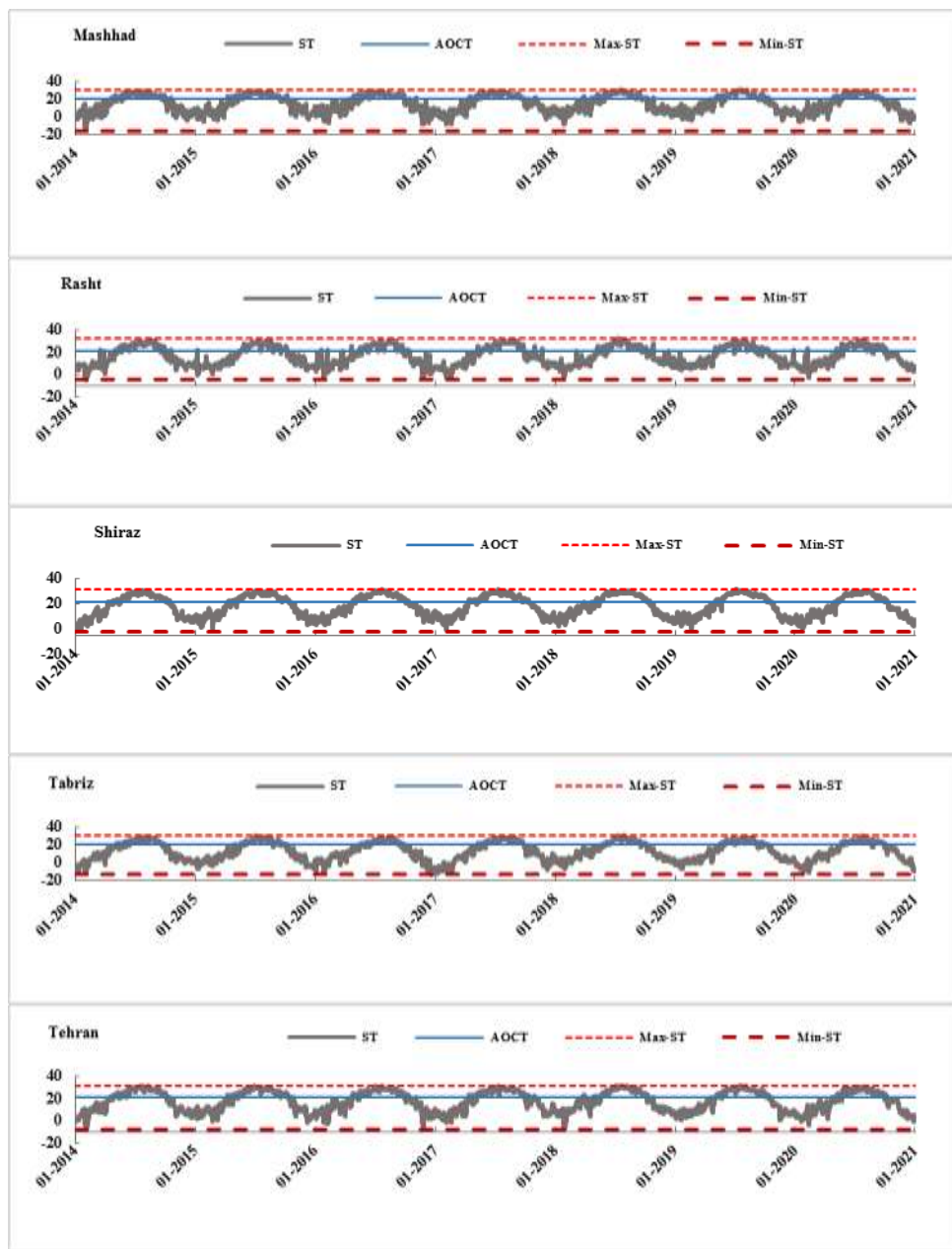
داشته است که تأییدی بر سهم زیاد تنش‌های سرمایی در این شهر است؛ آن‌گونه که برای اهواز و بندرعباس عکس این رویداد با تقویت تنش‌های گرما قابل تشخیص است. علاوه بر این، به‌جز برای دو شهر مذکور که دمای بهینه آسایش در حد واسطه کمینه و بیشینه شاخص ST واقع شده است، برای دیگر شهرها کاملاً نزدیک به مقادیر بیشینه شاخص ترسیم شده است.

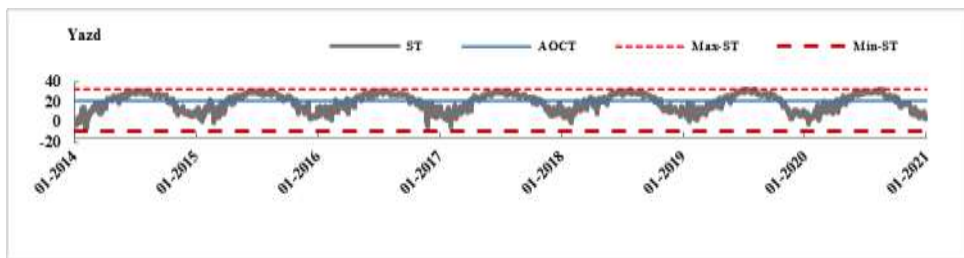
ثبت مقادیر فرین شاخص در دوره سرد و گرم باعث شده است که الگوی سینوسی از حالت هموار^۱ خارج شود که در این بین، سهم فرین‌های سرمایشی مشهودتر است (به نمودار همدان دقت شود)؛ البته باید متذکر شد که این بی‌نظمی‌ها گاهی اوقات فرم معکوس به خود گرفته است؛ به عنوان مثال، در دوره سرد سال شاهد افزایش قابل توجه مقادیر شاخص ST هستیم؛ افزایشی که در برخی موارد حتی می‌تواند به مرز تنش گرمایی برسد (به نمودار رشت دقت شود). در این باره برای هیچ‌یک از شهرهای بررسی شده، کاهش قابل توجه در شاخص برای دوره گرم سال مشاهده نمی‌شود که به‌طور مشخص بازخوردی از شرایط پایدارتر اقلیم در این دوره از سال است.



1. Smooth







شکل ۳ شاخص احساس حرارتی و AOCT

مأخذ: یافته‌های پژوهش، ۱۴۰۰

۵. نتیجه‌گیری

با توجه به اینکه شاخص دمای احساسی (ST) ترکیبی از عملکرد فراسنج‌های آب و هوایی و ویژگی‌های جغرافیایی (عرض جغرافیایی، ارتفاع و فصل) را استفاده می‌کند، قابلیت زیادی در ارزیابی شرایط آسایش حرارتی دارد. مهم‌ترین خروجی‌های این شاخص در ۱۱ رتبه تعریف شده برای کلان‌شهرهای ایران نشان دادند، بیشترین درصد فراوانی احساس حرارتی داغ به شهرهای بندرعباس و اهواز به ترتیب با ۴۱/۸۸ و ۴۰/۵۹ درصد مربوط بوده است. پژوهش‌های متعدد براساس شاخص‌های مختلف نیز این نتیجه را برای دو شهر مذکور تأیید کرده‌اند؛ از جمله پژوهش فلاخ قالهری و همکاران (۱۳۹۸، ص. ۳۳) که ارزیابی شرایط بیوکلیمایی در شهر بندرعباس را مطالعه کردند. نتایج بیان‌کننده شرایط نبود آسایش کامل برای این شهر بود که دارای اقلیم گرم و خشک است. همچنین باعقیده و همکاران (۱۳۹۷، ۱) نشان دادند، در دوره گرم سال شدیدترین تنفس‌های حرارتی در سواحل جنوب به خصوص جزایر روی می‌دهد، اما در سواحل شمالی تنها تنفس‌های سرمایی ثبت شده است که شدت زیاد نیز ندارند؛ این در حالی است که شهر یزد با فاصله قابل توجه نسبت به دو شهر مذکور (۱۰/۳۲ درصد) در رتبه سوم قرار دارد. برای شهرهای همدان و کرمان هیچ موردی از تنفس حرارتی در آستانه مدنظر (داغ) ثبت نشده است. این موضوع برای همدان با توجه به تپوگرافی و عرض جغرافیایی آن، دور از ذهن نیست، اما برای شهر کرمان به نظر می‌رسد که پارامتر ارتفاع (بالاترین ارتفاع در بین ایستگاه‌های بررسی شده) بیشترین نقش را در این زمینه ایفا کرده است؛ چراکه در محاسبه شاخص (ST) وزن درخور توجهی برای ارتفاع در نظر

گرفته شده است؛ به گونه‌ای که می‌تواند حتی اثر کاهشی عرض جغرافیایی کم را تا حد چشمگیری جبران کند.

آستانه ($D \leq ST \leq 22.7$) در شاخص ST بیانگر وجود شرایط «آسایش کامل» حرارتی است که درصد فراوانی برای شهر بندرعباس ۲۱/۲۷ و سپس برای اهواز ۱۵/۳۶ درصد بوده است. شرایط آسایشی بندرعباس و اهواز در بسیاری از سطوح شاخص دمای احساسی به هم نزدیک‌اند و تنها تفاوت قابل توجه در سطح «خنک همراه با آسایش» است که باعث شده است اهواز تعداد روزهای آسایشی کمتری در مقایسه با بندرعباس داشته باشد؛ به گونه‌ای که اگر آستانه‌های قبل و بعد از آستانه آسایش یعنی (گرم همراه با آسایش و خنک همراه با آسایش) را نیز به عنوان محدوده آسایش در نظر بگیریم، مجموع این آستانه‌ها برای شهرهای بندرعباس و اهواز بسیار نزدیک به هم خواهد بود.

اختلاف قابل توجه در درصد فراوانی روزهای همراه با آسایش حرارتی برای شهر بندرعباس با دیگر شهرهای بررسی شده، در درجه اول به سهم بسیار ناچیز (نزدیک به صفر) آستانه‌های «خیلی سرد، سرد، کمی سرد و خنک» برای این شهر بر می‌گردد. در آستانه خنک همراه با آسایش نیز بندرعباس پایین‌ترین رتبه (۷/۳۹ درصد) را در بین شهرها داشته است؛ به این ترتیب، بیش از ۹۲/۵ درصد از روزهای بررسی شده در دوره آماری در محدوده خارج از تنش‌های سرد قرار داشته است که از این بین، ۲۱/۲۷ درصد به شرایط «آسایش حرارتی» مربوط بوده و بقیه در محدوده تنش‌های حرارتی گرم توزیع شده است؛ به عبارتی، چند ماه از سال به طور کامل توسط بیشترین تنش‌های گرمایی (داع و خیلی گرم) از شرایط آسایش به دور هستند، اما به دلیل نبود تنش‌های سرمایی در این شهر، ماههای دیگر سال به شرایط آسایش حرارتی نزدیک‌تر شده‌اند. در پژوهش‌های انجام‌شده، درصد زیاد روزهای همراه با آسایش در دوره سرد سال برای شهرهای جنوبی ایران، در شاخص‌های دیگر بیوکلیمایی نیز نمود داشته است که از آن جمله می‌توان به مطالعات فلاح قاله‌بری و همکاران (۱۳۹۵) و زارع ابیانه (۱۳۹۳، ۲۰۱) اشاره کرد.

در کاربرد شاخص ST برخلاف بسیاری از مدل‌های ارائه شده، استفاده از تمام فراسنج‌های اصلی آب و هوایی مؤثر در شرایط آسایش انسانی، میسر شده است؛ ضمن اینکه همراهی این

پارامترها در کنار ویژگی‌های مکانی و زمانی (عرض جغرافیایی، ارتفاع و فصل) طیف گسترده‌ای به جنبه‌های کاربردی این روش داده است. مدل مذکور به لحاظ اعمال تصحیحات متنوع، قابلیت استفاده در گستره قابل توجهی از عرض‌های جغرافیایی و مناطق با ارتفاع متفاوت از سطح دریا را دارد و به گفته وانگ (۲۰۱۳)، این ویژگی‌ها می‌توانند تأییدی بر ظرفیت قابل توجه آن برای تبدیل شدن به یک مدل جهانی^۱ باشند.

حمایت مالی

این مطالعه بخشی از طرح پژوهشی با حمایت صندوق حمایت از پژوهشگران و فناوران (INSF) به شماره گرنت (۹۹۰۲۲۷۱۲) است.

کتابنامه

۱. بامری نژاد، ف.، کشتکار، ار.، کریم پورریحان، م.، افضلی، ع. (۱۳۹۸). به کارگیری شاخص‌های اقلیمی در تعیین مناطق مستعد گردشگری استان کرمان. *جغرافیا و برنامه‌ریزی محیطی*, ۳(۳۰)، ۷۸-۹۸.
۲. حنفی، ع. (۱۳۹۹). تعیین تقویم زمانی آسایش اقلیمی به منظور برنامه‌ریزی گردشگری در شهرهای منتخب توریستی کشور. *مجله مهندسی جغرافیای سرزمین*, ۴(۲)، ۲۷۴-۲۵۹.
۳. خالدی، ش.، کریمی، ی.، ابدالی، ح.، و محمدی، غ. (۱۳۹۸). تحلیل شاخص‌های اقلیم آسایش و ارتباط آن با گردشگری در شهر تبریز. *توسعه پایدار محیط جغرافیایی*, ۱، ۸۱-۷۳.
۴. خوش‌نفس، م.، و صداقت، م. (۱۳۹۴). بررسی آسایش اقلیمی با استفاده از شاخص درجه سختی هوا (مطالعه موردی: شمال غرب ایران)، *فصلنامه آب و هواشناسی کاربردی*, ۱(۲)، ۱۰۴-۹۱.
۵. ذوالفقاری، ح. (۱۳۹۵). آب و هواشناسی توریسم. تهران: سمت.
۶. علیجانی، ب.، و رضوی، ز. (۱۳۹۶). مقایسه شاخص‌های آسایش برای ارزیابی راحتی اقلیمی شهر تهران. *اندیشه جغرافیایی*, ۱۷(۸)، ۱۶۹-۱۴۵.

7. Baaghideh, M., Shakeri, F., & Mayvaneh, F. (2017). Comparative study of thermal stress on North and South Coasts of Iran. *Journal of Health Research in Community*, 3(3), 1-11.
8. Blazejczyk, K. (2005). New indices to assess thermal risks outdoors. Paper presented at the *Environmental ergonomics XI, Proc. of the 11th International Conference* (pp. 222 -225). Ystat, Sweden.
9. Burton, I., Ebi, K. L., & McGregor, G. (2009). *Biometeorology for adaptation to climate variability and change* (3rd ed.). Cham: Springer.
10. Cheng, V., Ng, E., Chan, C., & Givoni, B. (2012). Outdoor thermal comfort study in a sub-tropical climate: a longitudinal study based in Hong Kong. *International Journal of Biometeorology*, 56(1), 43-56.
11. Cocci Grifoni, R., Pierantozzi, M., & Tascini, S. (2012). Outdoor thermal comfort and local climate change: Exploring connections, PLEA2012 . Paper presented at the *28th Conference, Opportunities, Limits & Needs Towards an environmentally responsible architecture Lima*, Perú.
12. Cocco, S., Kämpf, J., Scartezzini, J.-L., & Pearlmuter, D. (2016). Outdoor human comfort and thermal stress: A comprehensive review on models and standards. *Journal of Urban Climate*, 18, 33-57.
13. de Freitas, C. R. (2003). Tourism climatology: Evaluating environmental information for decision making and business planning in the recreation and tourism sector. *International Journal of Biometeorology*, 48(1), 45-54.
14. Falbo, C. (2005). The golden ratio—a contrary viewpoint. *The College Mathematics Journal*, 36(2), 123-134.
15. Fallah Ghalhari, G. A., Shakeri, F., Abbasinia, M., Ghanadzadeh, M. J., Asghari, M., & Tajik, R. (2019). Use of becker and neurotic pressure bioclimatic indices in the assessment of thermal comfort in outdoor environments based on meteorological data: Case study in three different climates of Iran. *Iran Occupational Health Journal*, 16(1), 33-46.
16. Fallah Ghalhari, G., Esmaili, R., & Shakeri, F. (2016). Assessing the seasonal variability of thermal stresses during the last half century in some climatic zones of Iran. *Iranian Journal of Health and Environment*, 9(2), 233-246.
17. Hounam, C. E. (1967). Meteorological factors affecting comfort with special reference to Alice Springs,Australia. *International Journal of Biometeorology*, 11(2),151-162.
18. Ismail, A. R., Jusoh, N., Zulkifli, R., Sopian K., & Deros, B. M. (2009). Thermal comfort assessment: a case study at Malaysian automotive industry. *American Journal of Applied Sciences*, 6(8),1495-1501.
19. Longin, F. (2016). *Extreme events in finance: A handbook of extreme value theory and its applications*. Hoboken: New Jersy: John Wiley & Sons.
20. Matsukawa, T., Ozaki, M., Hanagata, K., Iwashita, H., Miyaji, T., & Kumazawa, T. (1996). A comparison of four infrared tympanic thermometers with tympanic membrane temperatures measured by thermocouples. *Canadian Journal of Anaesthesia*, 43(12), 1224-1228.

- 21.Nastos, P. T., & Matzarakis, A. (2012). The effect of air temperature and human thermal indices on mortality in Athens, Greece. *Theoretical and Applied Climatology*, 108(3-4), 591-599.
- 22.Potchter, O., Cohen, P., Lin, T.-P., & Matzarakis, A. (2018). Outdoor human thermal perception in various climates: A comprehensive review of approaches, methods and quantification. *Science of the Total Environment*, 631, 390-406.
- 23.Terjung, W. H. (1968). World patterns of the monthly comfort index. *International journal of Biometeorology*, 12(2), 119-151.
- 24.Tseliou, A., Tsilos, I. X., Lykoudis, S., & Nikolopoulou, M. (2010). An evaluation of three biometeorological indices for human thermal comfort in urban outdoor areas under real climatic conditions. *Building and Environment*, 45(5), 1346-1352.
- 25.Van Dana, S. Anish S., & Kumari S. (2015): Analysis on effect of cold stress in bean seeds (Pharsalus Vulgaris l). *American Journal of Bio Science*, 3(4), 145-166.
- 26.Vellei, M., Herrera, M., Fosas, D., & Natarajan, S. (2017). The influence of relative humidity on adaptive thermal comfort. *Building and Environment*, 124, 171-185.
- 27.Wang, J. (2013). *China air quality online monitoring and analysis platform*. <https://www.aqistudy.cn/historydata/>.
- 28.Wang, S., Ma, P., Shang, K., et al. (2013). CN103106336A. Retrieved from http://www.wanfangdata.com.cn/details/detail.do?_type=patent&id=CN201210596366.0
- 29.Yahia, M. W., & Johansson, E. (2013). Evaluating the behaviour of different thermal indices by investigating various outdoor urban environments in the hot dry city of Damascus, Syria. *International Journal of Biometeorology*, 57(4), 615-630.
- 30.Yuan, M., Liu, X., Guo, J., Huang, Y., & Song, W. (2021). Analysis of eco-tourism climate resources in xingwen, china based on the comfort index and the negative air (Oxygen) Ion. *Journal of Geoscience and Environment Protection*, 9(3), 154-163.
- 31.ZareAbyaneh, H. (2014). Study of human comfort based on bio-climate index in warm and arid regions of Iran. *Journal of Water and Soil Conservation*, 20(6), 201-218.
- 32.Zhang, S., Wang, B., Wang, S., Hu, W., Wen, X., Shao, P., & Fan, J. (2020). Influence of air pollution on human comfort in five typical Chinese cities. *Environmental Research*, 1-10.
- 33.Zhang, S., Wang, B., Wang, S., Hu, W., Wen, X., Shao, P., & Fan, J. (2021). Influence of air pollution on human comfort in five typical Chinese cities. *Environmental Research*, 195, 1-10.